

## (205) 凝固、冷却中のγ粒成長挙動に及ぼす冷却速度と成分の影響

住友金属工業㈱ 中央技術研究所 °安元邦夫 前原泰裕  
長道常昭 郡司好喜

1. 緒 言： Cは凝固、冷却中のγ粒成長挙動を通じて鋼の高温延性に影響を及ぼすことを前報<sup>1)</sup>で報告したが、さらにγ単相化温度の実測と組織の観察によりCの影響についてメカニズムの詳細を検討し、冷却速度と合金元素の影響についても検討を加えた。

2. 実験： 供試鋼の化学成分をTable.1に示す。Fe-C系(D鋼)およびFe-C-Mn系(C鋼)について各80grの試料を溶融凝固後、 $0.1\sim4^{\circ}\text{Cs}^{-1}$ で冷却中の熱分析を行ない、微分曲線の解析によりγ単相化温度を決定した。また、B鋼の凝固冷却中のγ粒界破面を高温引張試験で現出して観察した。

3. 結 果： (1) 固相線度 $T_s$ およびγ単相化温度 $T_\gamma$ は冷却曲線上では読み取りが困難であるが、温度の時間微分曲線から変曲点として明瞭に読み取れる(Fig.1)。

(2) Fe-C系の $T_\gamma$ は包晶組成の0.18%C<sup>2)</sup>にピーカーを有するが、冷却速度が大きいほど低下する(Fig.2)。

(3) Mnの添加により $T_\gamma$ ピーカーは低C側に移行する。第3元素Xの添加による包晶C量 $C_p$ への影響は、Fe-X2元系状態図または実験から求められるので、その影響係数を $k_x$ とすれば実用鋼の $C_p$ は加算的に次式で表わせる。

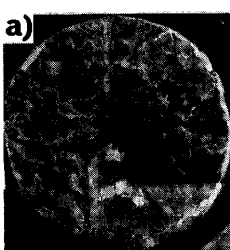
$$C_p(\%) = 0.18 + \sum k_x \cdot [\% X]$$

(4) 実用鋼の0.1~0.15%C域ではγ粒が粗大化するのみならず、速い冷却速度下で柱状γ粒となり易い(Photo.1, Fig.3)。

(5) したがって、包晶反応による不均一凝固やパウダーの多量流入による凝固遅れあるいはオッシレーションマーク附近等の冷却の遅れる場所ではγ粒の柱状粗大化が助長され、粒界の割れ感受性が加速されることになると考えられる(Fig.4)。

文 献 1) 前原ら：鉄と鋼, 70(1984), s 904

2) 田中：鉄と鋼, 53(1967), p.1586



(a) 0.03% C, (b) 0.13% C  
Photo.1. γ grains revealed by deformation at 1050°C. (B steels),  $2^{\circ}\text{Cs}^{-1}$ .

Table.1. Chemical compositions (wt %)

Steel	C	Si	Mn	P	S	Al	N
B series	0.05	~0.35	~0.24	~0.02	~0.02	~0.05	~0.06
	~0.24						
C series	0.03	<0.01	0.68	~0.02	~0.006	~0.03	~0.06
	~0.28		~0.96				
D series	0.02	<0.01	<0.01	~0.02	~0.002	~0.03	<0.001
	~0.85						

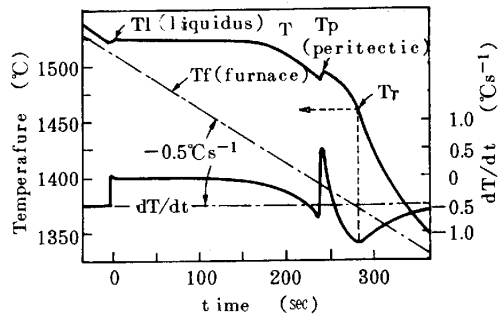


Fig.1. Thermal analysis by cooling temperature method. (Fe-0.18C)

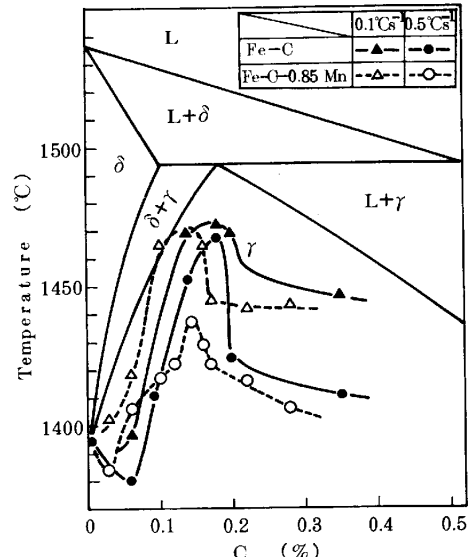


Fig.2. Measured γ formation temperature on the Fe-C phase diagram.

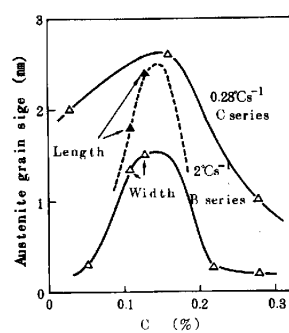
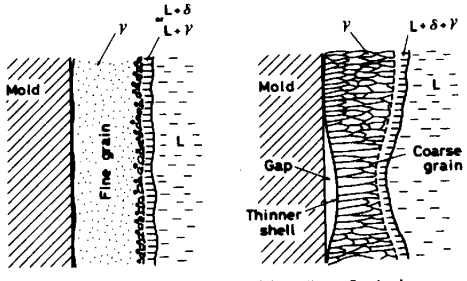


Fig.3. Influence of cooling rate on C dependency of γ grain size.



(a) Low or high C steel (b) Medium C steel

Fig.4. γ structure in solidified shell.